

Symmetrie Fig. 191. Sieben Gestaltstypen entsprechend Fig. 191 und 169.

- A. Tetragonales Prisma erster Stellung.
- B. Tetragonales Prisma zweiter Stellung.
- C. Pinakoid.
1. Bisphenoide erster Stellung, + und —.
2. Bisphenoide zweiter Stellung, vorn oben, vorn unten.
3. Tetragonale Prismen dritter Stellung, rechts und links.
4. Bisphenoide dritter Stellung, + und —, rechts und links.

Beispiele für das tetragonale System.

Fig. 179. Zirkon. Ditetragonal-bipyramidal. $o \{111\}$; $p \{110\}$.

Fig. 192. Zirkon. Ditetragonal-bipyramidal. $p \{110\}$; $o \{111\}$.

Fig. 193. Zirkon. (Hyazinth.) Ditetragonal-bipyramidal. $a \{100\}$; $o \{111\}$.

Fig. 194. Zinnstein. Ditetragonal-bipyramidal. $o \{111\}$; $r \{101\}$; $p \{110\}$; $s \{100\}$.

Fig. 195. Pentaerythrit. Ditetragonal-pyramidal. $c \{001\}$; $o \{111\}$; $o' \{1\bar{1}1\}$; $a \{100\}$.

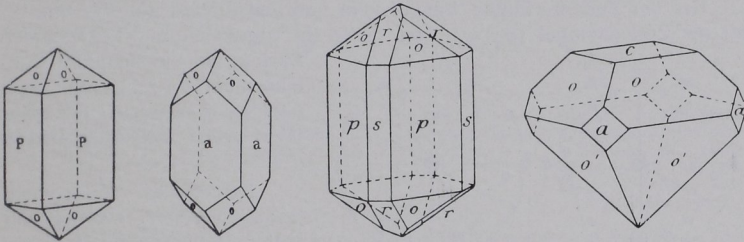


Fig. 192. Zirkon.

Fig. 193. Zirkon.
(Hyazinth.)

Fig. 194. Zinnstein.

Fig. 195. Pentaerythrit.

Fig. 196. Scheelit. Tetragonal-bipyramidal. $o \{111\}$; $m \{430\}$.

Fig. 197. Harnstoff. Tetragonal-skalenoedrisch. $c \{001\}$; $o \{111\}$; $p \{110\}$.

Fig. 198. Kupferkies. Tetragonal-skalenoedrisch. $p \{111\}$; $p' \{1\bar{1}1\}$; $z \{201\}$.

Fig. 199. Stereographische Projektion der Fig. 195.

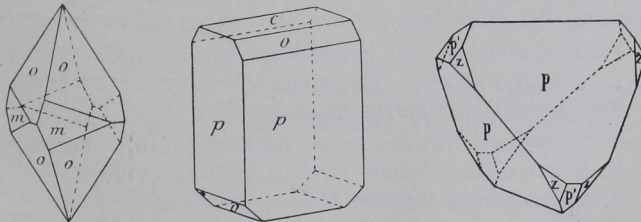


Fig. 196. Scheelit.

Fig. 197. Harnstoff.

Fig. 198. Kupferkies.